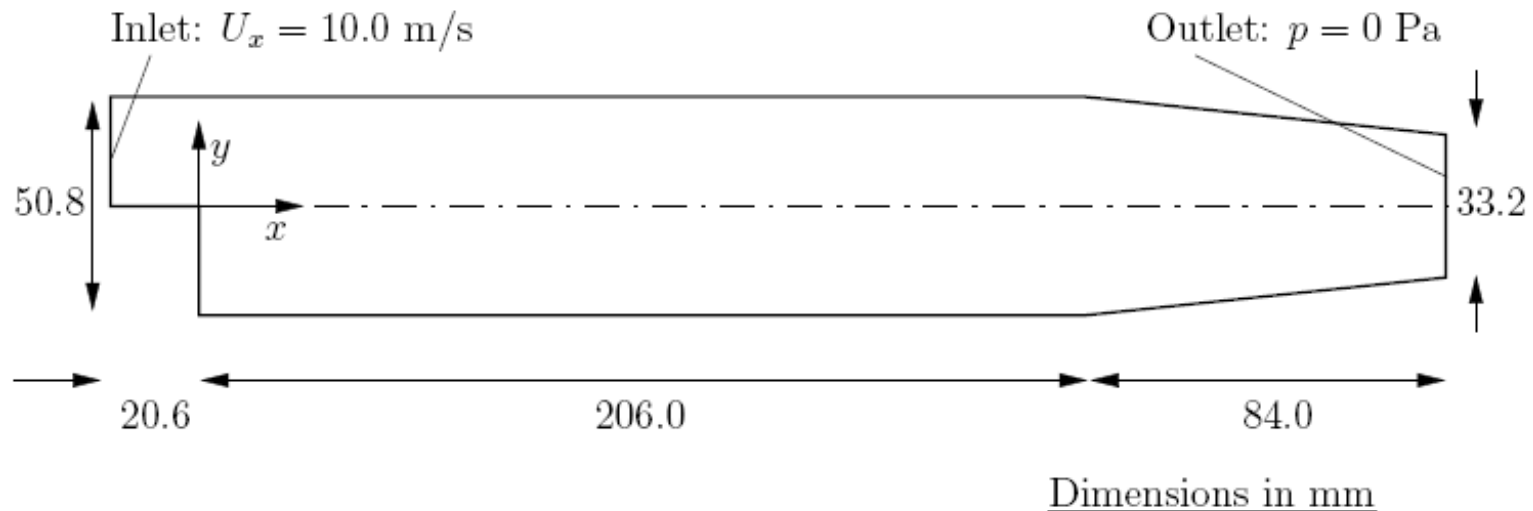


# **ДЕМОНСТРАЦИЯ ОБТЕКАНИЕ ОБРАТНОГО УСТУПА**

*Стрижак С.В.  
МГТУ им. Н.Э. Баумана  
03.03.2015*

# РАСЧЕТ ТЕЧЕНИЯ В КАНАЛЕ (pitzDaily)

## РАСЧЕТНАЯ ОБЛАСТЬ И ИСХОДНЫЕ ДАННЫЕ



$U = 10 \text{ м/с}$  на входе, на остальных границах -стенка

URANS + K-е модель , K-omega SST модель

LES (метод крупны вихрей ) + K one eddy equation model

Решатели: simpleFoam , pisoFoam

Использование пристеночных функций в модели турбулентности

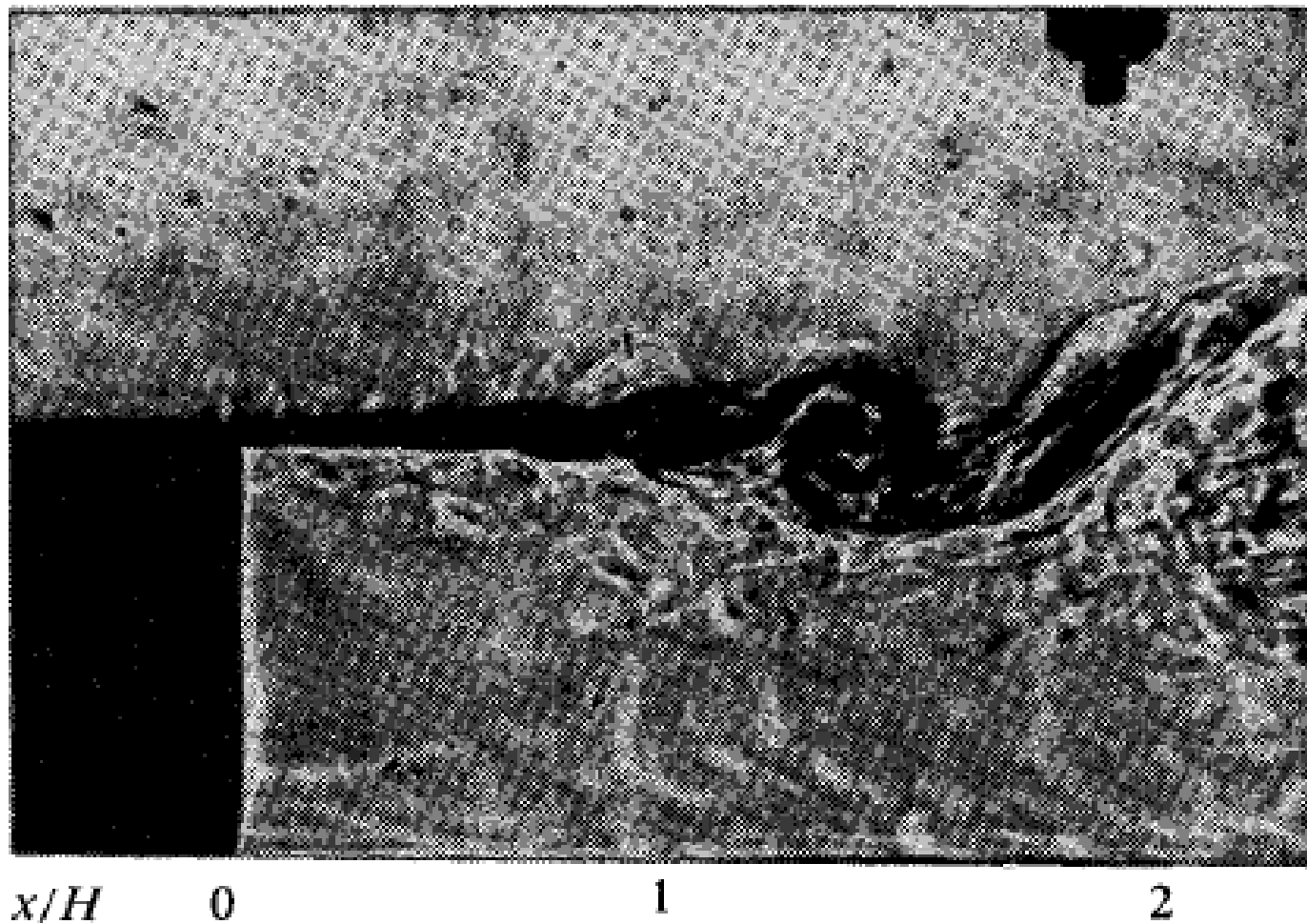
Цель: а) стационарный расчет течения в канале (simpleFoam)

б) нестационарный расчет течения в канале (pisoFoam)

Р.В. Питц, Дж.У. Дейли. Горение в турбулентном слое смешения за уступом.

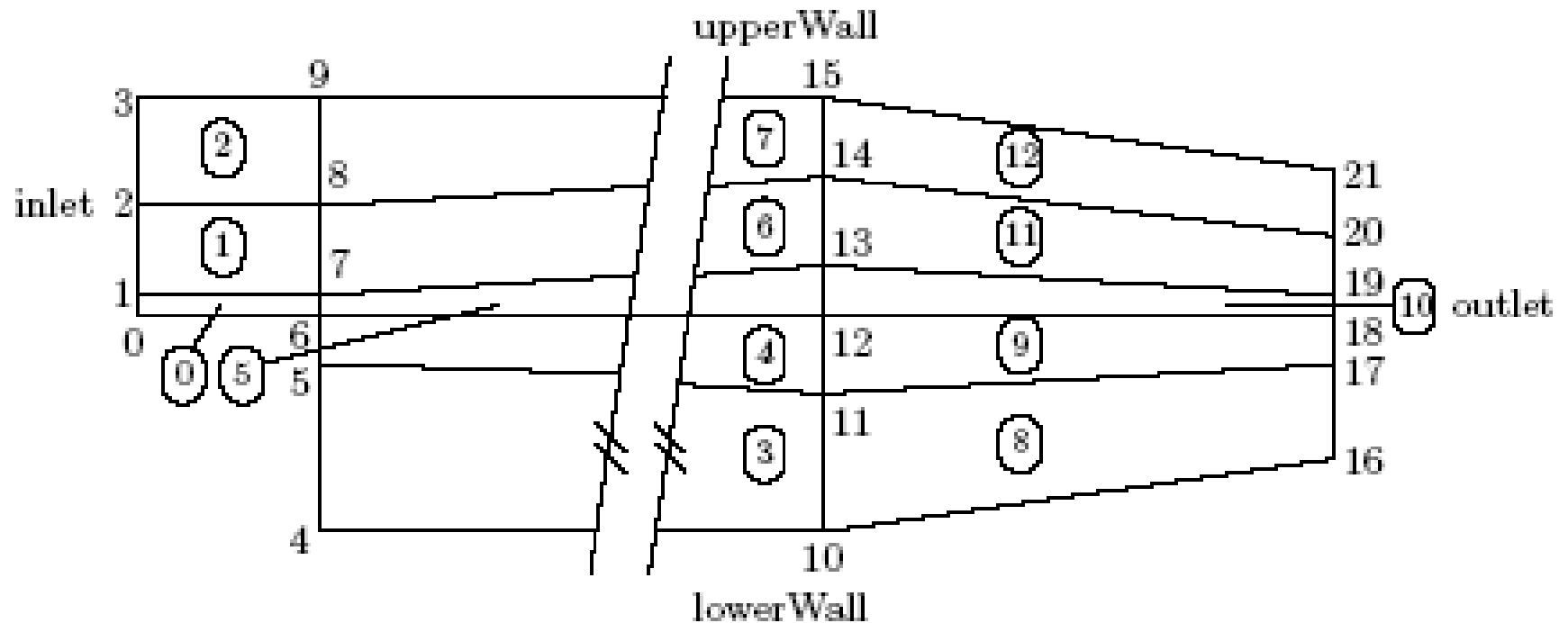
Аэрокосмическая техника. 1984. N7. с.74-82

## Шлирен фотография $Re=22000$



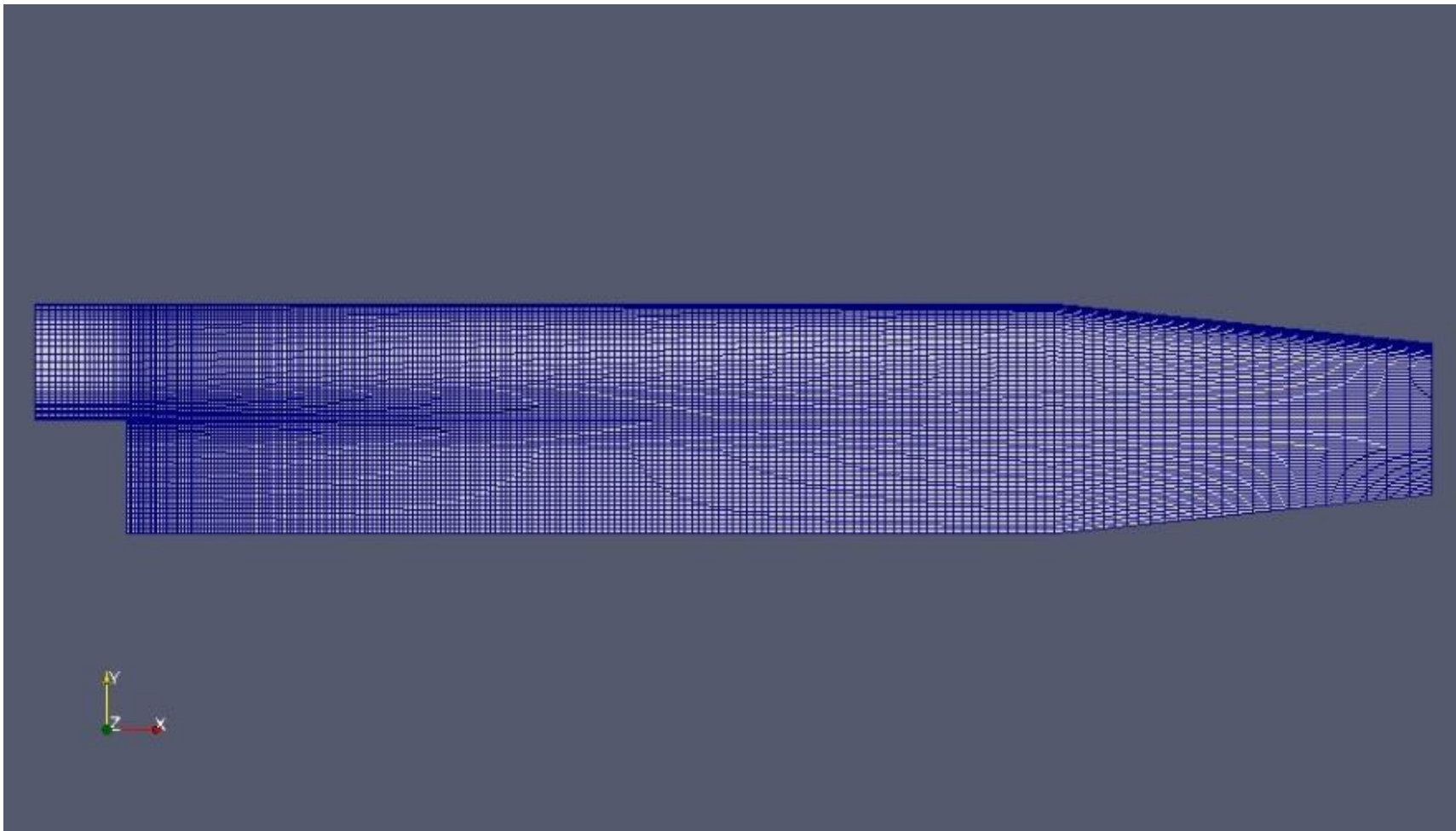
Р.В. Питц, Дж.У. Дейли. Горение в турбулентном слое смешения за уступом.  
Аэрокосмическая техника. 1984. N7. с.74-82

## Блочная сетка



Блочная сетка — файл `/constant/blockMeshDict`  
12 блоков

# Расчетная сетка с адаптацией



Двухмерная расчетная сетка содержит 12225 ячеек,  
для трехмерного случая - 244500 ячеек (combustion/XiFoam/pitzDaily3D)

# МАТЕМАТИЧЕСКАЯ МОДЕЛЬ

## *Governing equations*

- Mass continuity for incompressible flow

$$\nabla \cdot \mathbf{U} = 0 \quad (3.4)$$

- Steady flow momentum equation

$$\nabla \cdot (\mathbf{U}\mathbf{U}) + \nabla \cdot \mathbf{R} = -\nabla p \quad (3.5)$$

where  $p$  is kinematic pressure and (in slightly over-simplistic terms)  $\mathbf{R} = \nu_{eff} \nabla \mathbf{U}$  is the viscous stress term with an effective kinematic viscosity  $\nu_{eff}$ , calculated from selected transport and turbulence models.

*Initial conditions*  $U = 0$  m/s,  $p = 0$  Pa — required in OpenFOAM input files but not necessary for the solution since the problem is steady-state.

## *Boundary conditions*

- Inlet (left) with fixed velocity  $\mathbf{U} = (10, 0, 0)$  m/s;
- Outlet (right) with fixed pressure  $p = 0$  Pa;
- No-slip walls on other boundaries.

## *Transport properties*

- Kinematic viscosity of air  $\nu = \mu/\rho = 18.1 \times 10^{-6}/1.293 = 14.0 \text{ } \mu\text{m}^2/\text{s}$

## *Turbulence model*

- Standard  $k - \epsilon$ ;
- Coefficients:  $C_\mu = 0.09$ ;  $C_1 = 1.44$ ;  $C_2 = 1.92$ ;  $\alpha_k = 1$ ;  $\alpha_\epsilon = 0.76923$ .

*Solver name* simpleFoam: an implementation for steady incompressible flow.

# Математическая модель расчета параметров течения ( URANS – Unsteady Reynolds Averaged Navier-Stokes)

Обобщенное уравнение, отражающее законы сохранения и модель турбулентности,  
в интегральной форме

$$\frac{\partial}{\partial t} \int_{\Omega} \rho \phi \, d\Omega + \int_{\Omega} \rho \phi \vec{V} \cdot \vec{n} \, dS = \int_S \Gamma \, grad \phi \cdot \vec{n} \, dS + \int_{\Omega} q_{\phi} \, d\Omega \quad (1)$$

Здесь  $\phi$  - обобщенная переменная  $\phi = \{1, u, v, w, k, \omega, h\}$   $\Omega$  - контрольный объем,

$\vec{V}$  - вектор скорости,  $\Gamma$  - коэффициенты переноса,  $\vec{n}$  - вектор нормали

$dS$  - Дифференциальный элемент площади

$$\frac{\partial(\rho k)}{\partial t} + \frac{\partial(\rho u_i k)}{\partial x_i} = \tilde{P}_k - \beta^* \rho k \omega + \frac{\partial}{\partial x_i} \left[ (\mu + \sigma_k \mu_t) \frac{\partial k}{\partial x_i} \right] \quad \text{Модель k-omega SST Ментера}$$

$$\frac{\partial(\rho \omega)}{\partial t} + \frac{\partial(\rho u_i \omega)}{\partial x_i} = \alpha \rho S^2 - \beta \rho \omega^2 + \frac{\partial}{\partial x_i} \left[ (\mu + \sigma_{\omega} \mu_t) \frac{\partial \omega}{\partial x_i} \right] + 2(1 - F_1) \rho \sigma_{\omega 2} \frac{1}{\omega} \frac{\partial k}{\partial x_i} \frac{\partial \omega}{\partial x_i} \quad (2)$$

$$\frac{\partial(\rho \tilde{v})}{\partial t} + \frac{\partial}{\partial x_j} (\rho \tilde{v} u_j) = \frac{1}{\sigma_{\tilde{v}}} \left\{ \frac{\partial}{\partial x_j} \left[ (\mu + \rho \tilde{v}) \frac{\partial \tilde{v}}{\partial x_j} \right] + C_{b2} \rho \left( \frac{\partial \tilde{v}}{\partial x_j} \right)^2 \right\} + G_v - Y_v; \quad \text{Модель Спаларта-Аллмараса} \quad (3)$$

$\rho, u, p, k, \omega, h, t, \mu$  - плотность, скорость, давление, кинетическая энергия турбулентности,  
скорость диссипации энергии, энтальпия, время, динамическая вязкость

Постановка задачи: Задание граничных и начальных условий, выбор расчетных схем

Математическая модель расчета параметров течения  
( LES – Large Eddy Simulation)

$$u = \bar{u} + u' \quad \bar{u} = \int_{D_1} G(\xi, \zeta, \eta, \Delta) u(\xi, \zeta, \eta, t) d\xi d\zeta d\eta \quad (4)$$

$$u' \quad - \text{подсеточный масштаб скорости} \quad \Delta = V^{1/3} = (\Delta x \Delta y \Delta z)^{1/3} \quad (5)$$

$$\partial_t \bar{u} + \nabla \cdot (\bar{u} \otimes \bar{u}) = \nabla \cdot (\bar{S} - B) \quad S = -pI + 2\nu D \quad (6)$$

$$D = 0.5(\nabla u + \nabla u^T) \quad B = L + C + R$$

$I$  - единичный тензор       $L$  - напряжения Леонарда

$C$  - перекрестные члены       $R$  - подсеточные напряжения Рейнольдса

Дифференциальное уравнение для подсеточной кинетической энергии:

$$\frac{\partial k_{sgs}}{\partial t} + \nabla \cdot (k_{sgs} \bar{u}) = \nabla \cdot [(\nu + \nu_{SGS}) \cdot \nabla k_{sgs}] + 2\nu_{sgs} |\bar{S}|^2 - 0.916 \frac{k_{sgs}^{3/2}}{\Delta} \quad (7)$$

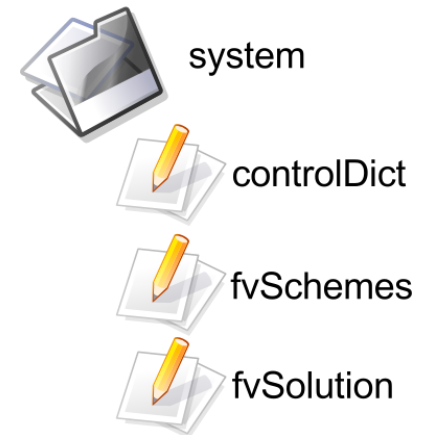
$$\nu_{sgs} = 0.067 k_{sgs}^{0.5} \Delta \quad \bar{S} \quad - \text{тензор подсеточной скорости деформации} \quad (8)$$



# ИСХОДНЫЕ ДАННЫЕ для примера pitzDaily.

## КАТАЛОГ ЗАДАЧИ

```
[cfd1 @master simpleFoam]$ cd pitzDailyParallel/  
[cfd1 @master pitzDailyParallel]$ ll  
total 12  
drwxr-xr-x 2 cfd1 sm3 4096 Dec 22 16:43 0  
drwxr-xr-x 3 cfd1 sm3 4096 Dec 22 16:43 constant  
drwxr-xr-x 2 cfd1 sm3 4096 Dec 22 16:48 system  
[cfd1 @master pitzDailyParallel]$  
[cfd1 @master pitzDailyParallel]$ cd system/  
[cfd1 @master system]$ ll  
total 16  
-rw-r----- 1 cfd1 sm3 1222 Dec 22 16:43 controlDict  
-rw-r----- 1 cfd1 sm3 1206 Dec 22 16:48 decomposeParDict  
-rw-r----- 1 cfd1 sm3 1877 Dec 22 16:43 fvSchemes  
-rw-r----- 1 cfd1 sm3 1940 Dec 22 16:43 fvSolution
```



# ЗНАЧЕНИЯ ДЛЯ СКОРОСТИ 0/U

```
dimensions    [0 1 -1 0 0 0 0];
```

```
internalField uniform (0 0 0);
```

```
boundaryField
```

```
{ inlet      {      type      fixedValue;      value      uniform (10 0 0);  }
```

```
outlet      {      type      zeroGradient;  }
```

```
upperWall   {      type      fixedValue;      value      uniform (0 0 0);  }
```

```
lowerWall   {      type      fixedValue;      value      uniform (0 0 0);  }
```

```
frontAndBack {      type      empty;  }}//
```

```
***** //
```

# ЗНАЧЕНИЯ ДЛЯ ДАВЛЕНИЯ O/P

dimensions [0 2 -2 0 0 0 0];

internalField uniform 0;

boundaryField

{

inlet

{ type zeroGradient; }

outlet

{ type fixedValue;  
value uniform 0; }

upperWall

{ type zeroGradient; }

lowerWall

{ type zeroGradient; }

frontAndBack

{ type empty; }

}

# ЗНАЧЕНИЯ ДЛЯ КИНЕТИЧЕСКОЙ ЭНЕРГИИ ТУРБУЛЕНТНОСТИ $0/k$

## Использование пристеночной функции kqRWallFunction

```
dimensions    [0 2 -2 0 0 0 0];
```

```
internalField uniform 0.375;
```

```
boundaryField
```

```
{  
inlet {      type      fixedValue;      value      uniform 0.375;  }  
outlet {      type      zeroGradient;  }  
upperWall {      type      kqRWallFunction;      value      uniform 0.375;  }  
lowerWall {      type      kqRWallFunction;      value      uniform 0.375;  }  
frontAndBack {      type      empty;  
}  
}  
// ***** //
```

# ЗНАЧЕНИЯ ДЛЯ ЭНЕРГИИ ДИССИПАЦИИ 0/epsilon

## Использование пристеночной функции epsilonWallFunction

```
dimensions    [0 2 -3 0 0 0 0];
internalField uniform 14.855;
boundaryField
{
    inlet
    {
        type      fixedValue;
        value      uniform 14.855; }
    outlet
    {
        type      zeroGradient;}
    upperWall
    {
        type      epsilonWallFunction;
        value      uniform 14.855; }
    lowerWall
    {
        type      epsilonWallFunction;
        value      uniform 14.855; }
    frontAndBack
    {
        type      empty;}
}
```

# ЗНАЧЕНИЯ для тензора Рейнольдсовых напряжений 0/R

## Использование пристеночной функции kqRWallFunction

```
dimensions    [0 2 -2 0 0 0 0];
internalField uniform (0 0 0 0 0 0);
boundaryField
{
    inlet
    {
        type      fixedValue;
        value      uniform (0 0 0 0 0 0); }

    outlet
    {
        type      zeroGradient; }
    upperWall
    {
        type      kqRWallFunction;
        value      uniform ( 0 0 0 0 0 0 ); }
    lowerWall
    {
        type      kqRWallFunction;
        value      uniform ( 0 0 0 0 0 0 ); }
    frontAndBack
    {
        type      empty; }
}
```

# ЗНАЧЕНИЯ ДЛЯ ТУРБУЛЕНТНОЙ ВЯЗКОСТИ $\nu_t$

## Использование пристеночной функции `nutWallFunction`

```
dimensions    [0 2 -1 0 0 0 0];
internalField uniform 0;
boundaryField
{
    inlet
    {
        type      calculated;
        value      uniform 0;}
    outlet
    {
        type      calculated;
        value      uniform 0;}
    upperWall
    {
        type      nutWallFunction;
        value      uniform 0;}
    lowerWall
    {
        type      nutWallFunction;
        value      uniform 0;}
    frontAndBack
    {
        type      empty;}
}
```

# УПРАВЛЕНИЕ РАСЧЕТОМ Файл `/system/controlDict`

```
application    simpleFoam;  
startFrom      startTime;  
startTime      0;  
stopAt         endTime;  
endTime        10;  
deltaT         1;  
writeControl    timeStep;  
writeInterval   1;  
purgeWrite      0;  
writeFormat     ascii;  
writePrecision  6;  
writeCompression uncompressed;  
timeFormat      general;  
timePrecision   6;  
runTimeModifiable yes;
```



# СХЕМЫ ДИСКРЕТИЗАЦИИ /system/fvSchemes

```
gradSchemes{ default Gauss linear;
grad(p) Gauss linear;
grad(U) Gauss linear;}
divSchemes{ default none;
div(phi,U) Gauss GammaV 1.0;
div(phi,k) Gauss Gamma 1.0;
div(phi,epsilon) Gauss Gamma 1.0;
div(phi,omega) Gauss Gamma 1.0;
div(phi,R) Gauss Gamma 1.0;
div(R) Gauss linear;
div(phi,nuTilda) Gauss upwind;
div((nuEff*dev(grad(U).T())) Gauss linear;}
laplacianSchemes{ default none;
laplacian(nuEff,U) Gauss linear corrected;
laplacian((1|A(U)),p) Gauss linear corrected;
laplacian(DkEff,k) Gauss linear corrected;
laplacian(DepsilonEff,epsilon) Gauss linear corrected;
laplacian(DomegaEff,omega) Gauss linear corrected;
laplacian(DREff,R) Gauss linear corrected;
laplacian(DnuTildaEff,nuTilda) Gauss linear corrected;}
interpolationSchemes{ default linear; interpolate(U) linear;}
snGradSchemes{ default corrected;}
fluxRequired{ default no; p;}
```

# МЕТОДЫ РЕШЕНИЯ СЛАУ Файл

## /system/fvSolutions

FoamFile

```
{ version 2.0; format ascii; class dictionary; object fvSolution;}  
// **** */preconditioner DILU; tolerance 1e-05; relTol 0.1; };  
k PBiCG { preconditioner DILU; tolerance 1e-05; relTol 0.1; };  
epsilon PBiCG { preconditioner DILU; tolerance 1e-05; relTol 0.1; };  
omega PBiCG { preconditioner DILU; tolerance 1e-05; relTol 0.1; };  
R PBiCG { preconditioner DILU; tolerance 1e-05; relTol 0.1; };  
nuTilda PBiCG { preconditioner DILU; tolerance 1e-05; relTol 0.1; };}
```

Solvers {

```
p PCG { preconditioner DIC; tolerance 1e-06; relTol 0.01; };  
U PBiCG { preconditioner DILU; tolerance 1e-05; relTol 0.1; };  
k PBiCG { preconditioner DILU; tolerance 1e-05; relTol 0.1; };  
epsilon PBiCG { preconditioner DILU; tolerance 1e-05; relTol 0.1; };  
omega PBiCG { preconditioner DILU; tolerance 1e-05; relTol 0.1; };  
R PBiCG { preconditioner DILU; tolerance 1e-05; relTol 0.1; };  
nuTilda PBiCG { preconditioner DILU; tolerance 1e-05; relTol 0.1; };}
```

SIMPLE

```
{ nNonOrthogonalCorrectors 0;}
```

relaxationFactors

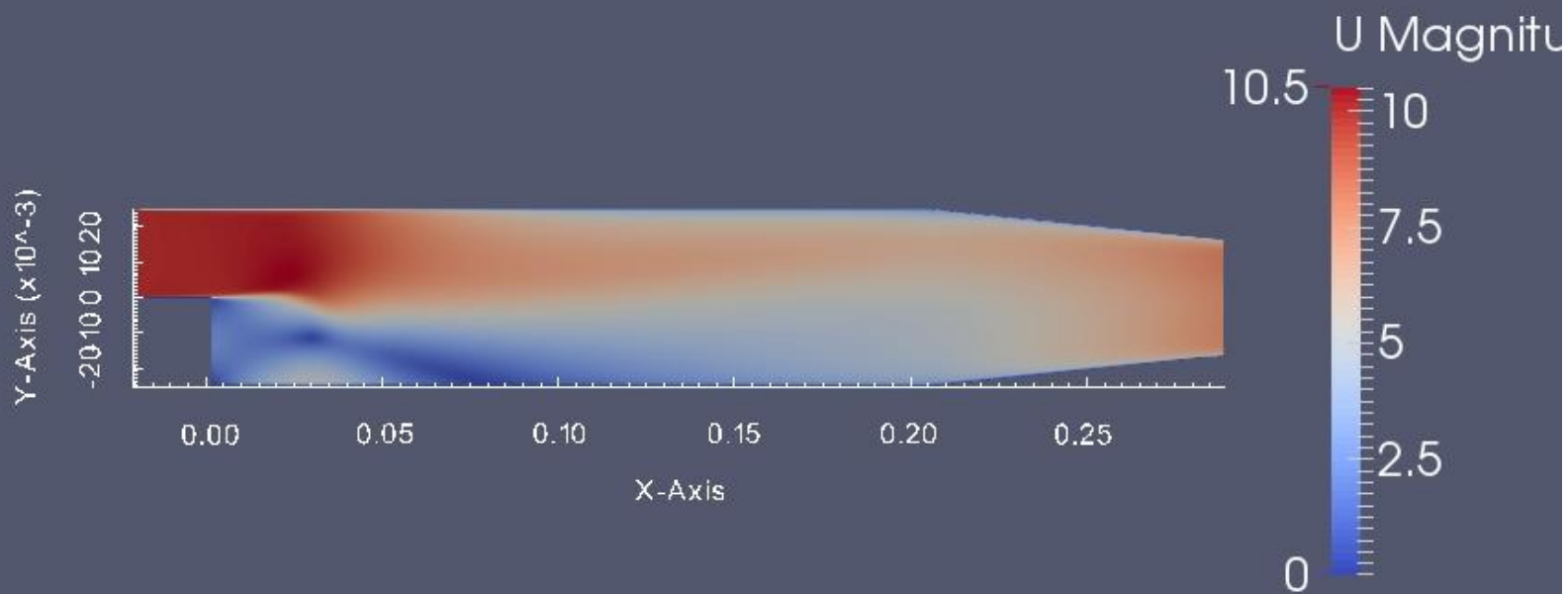
```
{ p 0.3; U 0.7; k 0.7; epsilon 0.7; omega 0.7; R  
0.7; nuTilda 0.7;}
```

PISO

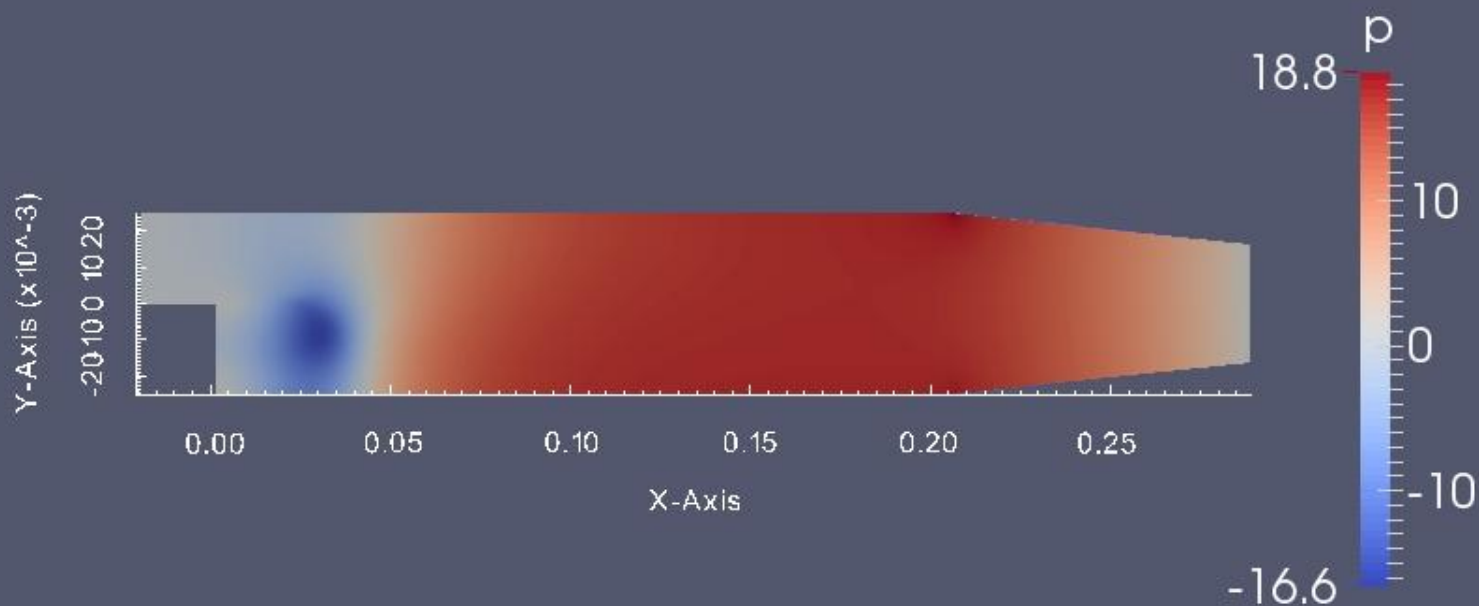
```
{ nCorrectors 4; nNonOrthogonalCorrectors 0; pRefCell 0; pRefValue 0;}
```

```
// **** */
```

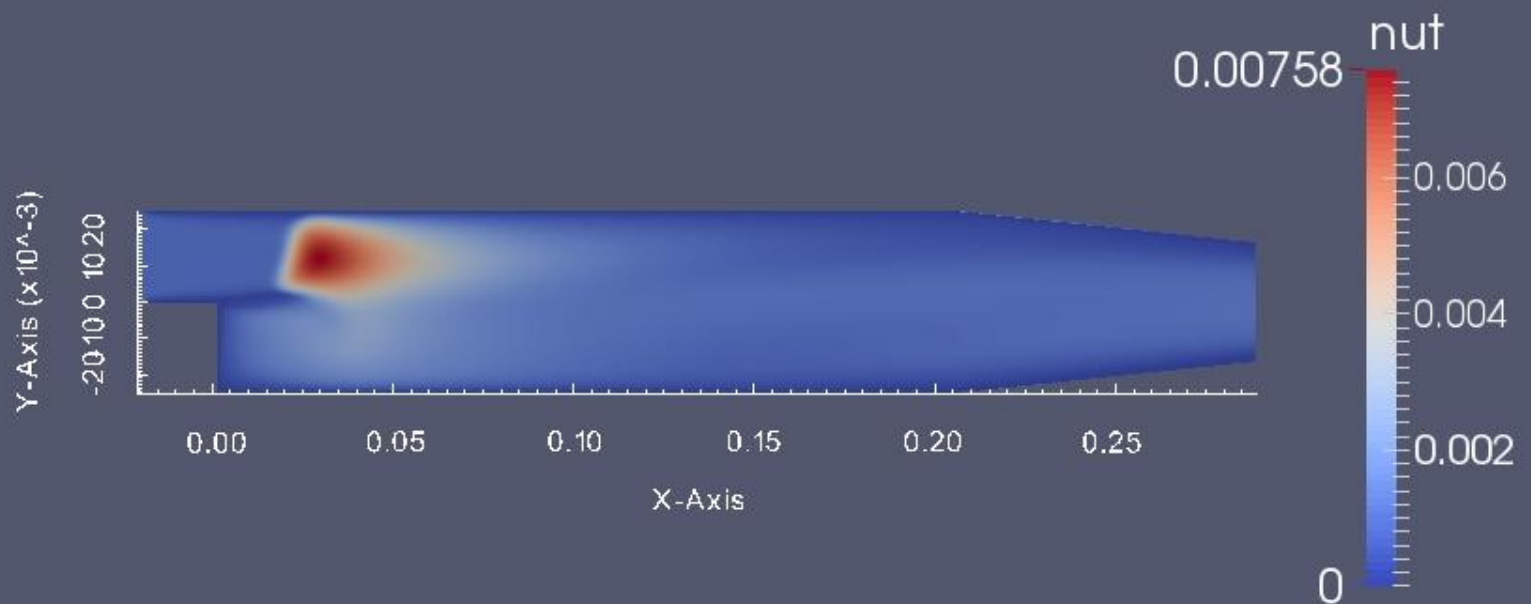
## Результаты расчета U Magnitude в simpleFoam. T=100 с.



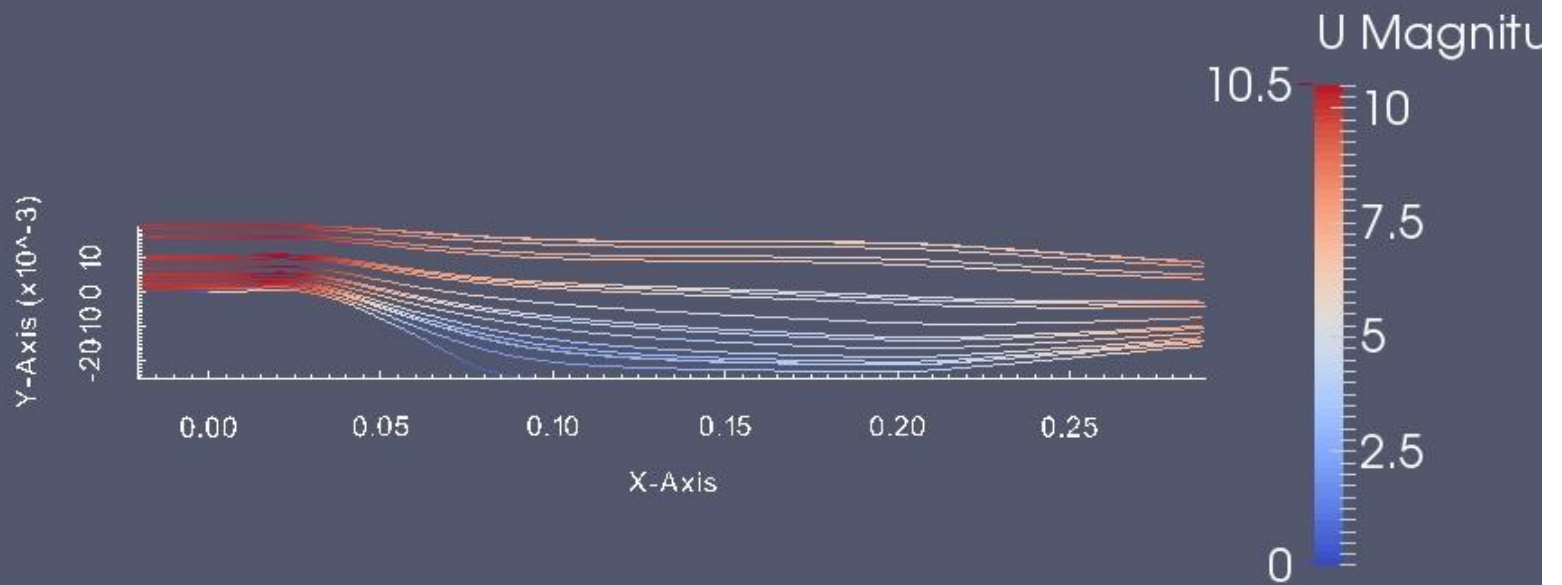
# Результаты расчета $p$ в simpleFoam. $T=100$ с.



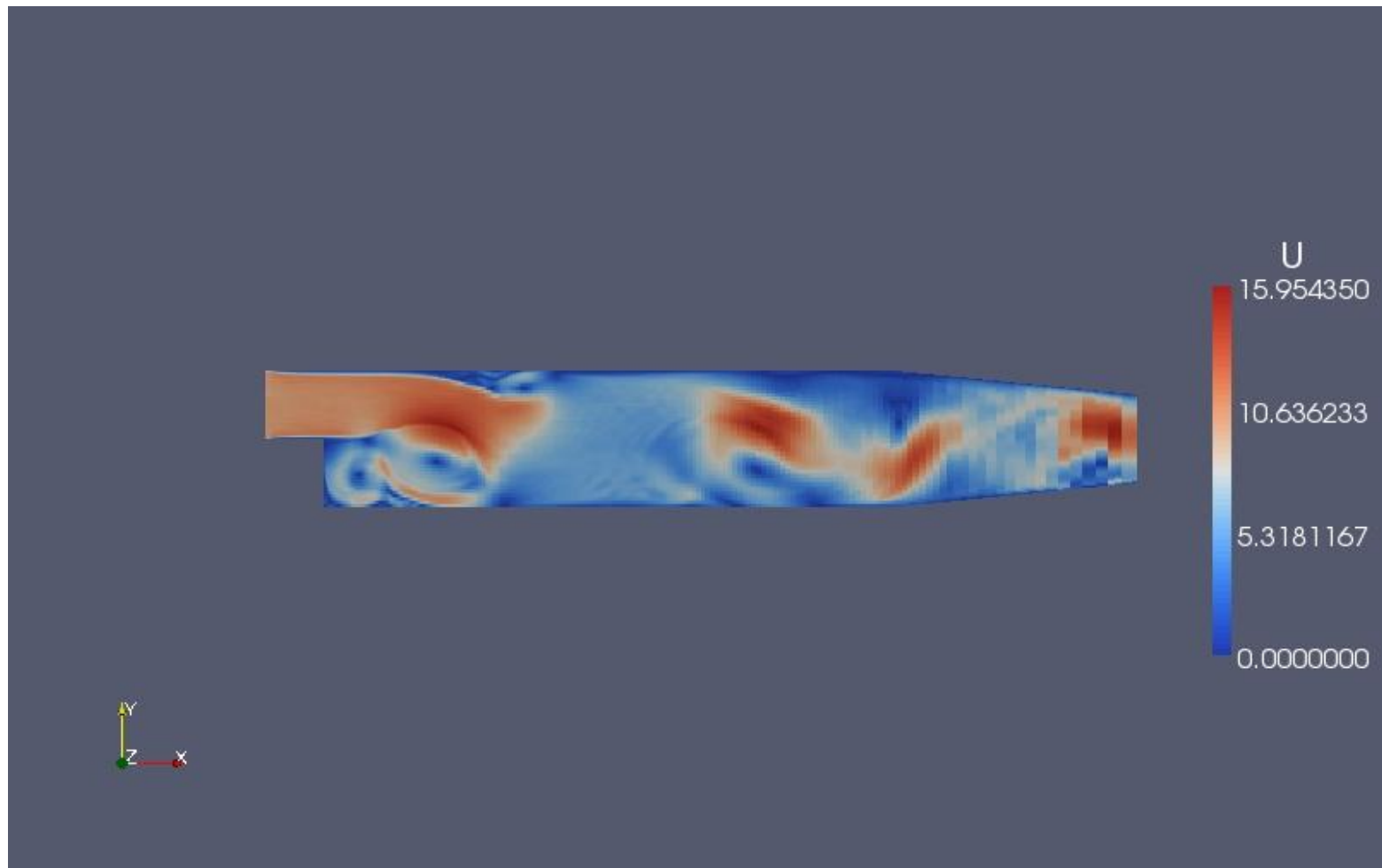
## Результаты расчета nut в simpleFoam. T=100 с.



# Результаты расчета линий тока в simpleFoam. T=100 с.



# Результаты расчета скорости в pisoFoam



LES model. One eddy equation.

# Общий алгоритм для любого расчетного кейса в OpenFOAM

\$ blockMesh – подготовка расчетной сетки

\$ checkMesh – проверка качества расчетной сетки

\$ simpleFoam (\$pisoFoam) – запуск решателя

\$ foamToVTK - трансляция результатов в формат VTK

\$ touch 1.foam – создание файла с расширением 'foam'

\$ simpleFoam > log & - создание log файла

\$ foamLog log – запуск скрипта, использующего команды Linux grep, awk, sed для извлечения данных из log файла.

\$ yPlusRAS – определение значения yPlus для URANS модели

\$ gnuplot – построение графиков

Запуск Paraview и загрузка файлов с расширением vtk для обработки результатов расчета.